

N° GROUPE	NOM	PRENOM

FIMI 2^{ème} année

Mécanique des systèmes - Examen de fin de semestre 1

Date 05/02/2025 – Durée 2h (14h-16h)

Etude cinématique d'un mécanisme de retour rapide

Documents autorisés : 2 pages A4 de formulaire personnel ; calculatrice ; tableau des liaisons standard.

Les parties 1, 2 et 3 sont indépendantes. Le barème fourni est indicatif.

1 ETUDE ANALYTIQUE (~10PTS)

Le système étudié est représenté sur la figure 1 et son modèle cinématique est donné en **figure 4**. Le problème est plan de normale $\vec{z} = \vec{z}_{0,1,2,3,4}$

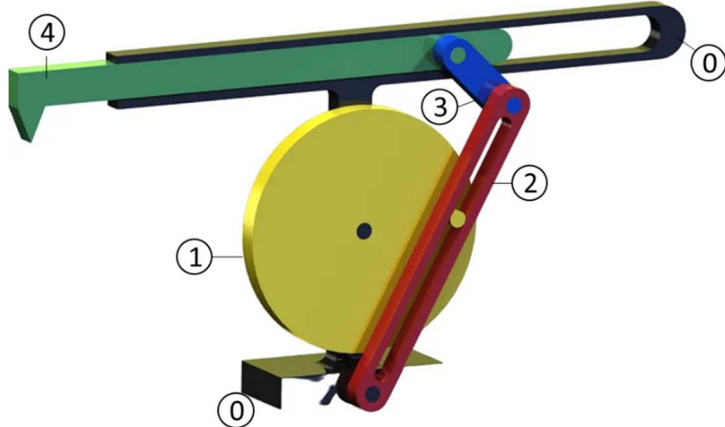


Figure 1 – Modèle CAO d'un mécanisme de retour rapide

Le mécanisme est constitué de 4 solides rigides :

- Un vilebrequin S_1 d'excentricité r en liaison pivot d'axe (B, \vec{z}) avec le bâti S_0 .

Paramètre de mouvement 1/o : $\theta_1 = (\vec{x}_0, \vec{x}_1)$.

- Un bras oscillant S_2 de longueur L qui est :

- o d'une part, en liaison pivot d'axe (O, \vec{z}) avec le bâti S_0 .

Paramètre de mouvement 2/o : $\theta_2 = (\vec{x}_0, \vec{x}_2)$.

- o d'autre part, en liaison pivot d'axe (C, \vec{z}) avec la biellette S_3

Cette liaison n'est pas paramétrée.

- o et enfin, en liaison que l'on assimilera à une linéaire annulaire d'axe (O, \vec{x}_2) avec le solide S_1 de sorte que le doigt à l'extrémité de S_1 coulisse dans la rainure de S_2

Cette liaison n'est pas paramétrée.

N° GROUPE	NOM	PRENOM

FIMI 2ème année

- Une biellette S_3 de longueur e qui est en liaison pivot d'axe (C, \vec{z}) avec le bras oscillant S_2 (comme indiqué précédemment) et en liaison pivot d'axe (D, \vec{z}) avec le coulisseau S_4 (cf. ci-dessous)

Le mouvement de cette biellette n'est pas paramétré ; elle réalise une fermeture de chaîne « par joint ».

- Un coulisseau S_4 en liaison pivot d'axe (D, \vec{z}) avec S_3 non paramétrée, et en liaison glissière (prismatique) d'axe $(D, \vec{x}_{4,0})$ avec le bâti S_0 .

$$\text{Paramètre de mouvement 4/o : } x = \vec{OD} \cdot \vec{x}_{0,4}$$

Les données géométriques du problème sont fournies sur la figure 4. La rotation de S_1 constitue l'entrée du mécanisme, la sortie correspond au mouvement du coulisseau S_4 par rapport au bâti S_0 .

1.1 EQUATIONS DE LIAISON

1. Tracer le graphe des liaisons et les figures de changement de base **dans le cadre fourni en dessous de la figure 4.**
2. Ecrire et développer la (les) condition(s) de liaison entre S_1 et S_2 . *On ne cherchera pas à résoudre.*

$$A \in D(O, \vec{x}_2) \rightarrow O\vec{A} \cdot \vec{y}_2 = 0$$

$$(d\vec{y}_0 + r\vec{x}_1) \cdot \vec{y}_2 = 0$$

$$d \cos \theta_2 + r \sin(\theta_1 - \theta_2) = 0 \quad (1)$$

3. Ecrire et développer la (les) condition(s) de liaison de type ‘joint’ entre S_2 et S_4 . *On ne cherchera pas à résoudre.*

$$CD^2 = e^2$$

$$[-L\vec{x}_2 + (b+d)\vec{y}_0 + x\vec{x}_{0,4}]^2 = e^2$$

$$(x - L \cos \theta_2)^2 + (b + d - L \sin \theta_2)^2 = e^2 \quad (2)$$

4. Donner le degré de mobilité du système.

$$d = 3 \text{ paramètres} - 2 \text{ équations de liaison (1) et (2)} = 1$$

N° GROUPE	NOM	PRENOM

FIMI 2^{ème} année

1.2 TORSEURS CINEMATIQUES

Les questions précédentes ont permis d'établir les relations entre les paramètres cinématiques. On analyse désormais les différents mouvements.

5. Donner la nature du mouvement 1/0 et préciser la nature du torseur cinématique associé. Exprimer les éléments de réduction de ce torseur cinématique au point A .

Rotation de centre B (torseur cinématique se réduisant à un vecteur glissant)

$$\begin{cases} \vec{\Omega}_{1/0} = \dot{\theta}_1 \vec{z}_{0,1} \\ \vec{V}(B, 1/0) = \vec{0} \end{cases}$$

Eléments de reduction au point A – Vitesse d'un point sur trajectoire circulaire de rayon r

$$\begin{cases} \vec{\Omega}_{1/0} = \dot{\theta}_1 \vec{z}_{0,1} \\ \vec{V}(A, 1/0) = r \dot{\theta}_1 \vec{y}_1 \end{cases}$$

6. Exprimer le torseur cinématique du mouvement 2/0 au point O . Quelle est la trajectoire du point C dans son mouvement par rapport à S_0 ? Calculer alors le vecteur vitesse $\vec{V}(C, 2/0)$ et le vecteur accélération $\vec{A}(C, 2/0)$

$$\begin{cases} \vec{\Omega}_{2/0} = \dot{\theta}_2 \vec{z}_{0,2} \\ \vec{V}(O, 2/0) = \vec{0} \end{cases}$$

C décrit un cercle de rayon L et de centre O , on en déduit:

$$\begin{cases} \vec{V}(C, 2/0) = L \dot{\theta}_2 \vec{y}_2 \\ \vec{A}(C, 2/0) = L \ddot{\theta}_2 \vec{y}_2 - L \dot{\theta}_2^2 \vec{x}_2 \end{cases}$$

7. Exprimer le torseur cinématique du mouvement 1/2 au point A . Vérifier que $\vec{V}(A, 1/2)$ est dans la direction de \vec{x}_2 (*on pourra utiliser la dérivée par rapport au temps d'une équation de liaison*).

- a) Composition des vitesses

$$\begin{aligned} \vec{V}(A, 1/2) &= \vec{V}(A, 1/0) - \vec{V}(A, 2/0) \\ &= r \dot{\theta}_1 \vec{y}_1 - \vec{V}(0, 2/0) - \vec{\Omega}_{2/0} \times (d \vec{y}_0 + r \vec{x}_1) \\ &= r(\dot{\theta}_1 - \dot{\theta}_2) \vec{y}_1 + d \dot{\theta}_2 \vec{x}_0 \end{aligned}$$

- b) Ou dérivation (A est aussi un point matériel) :

N° GROUPE	NOM	PRENOM

FIMI 2ème année

$$\begin{aligned}
 \vec{V}(A, 1/2) &= \frac{d^2}{dt}(\vec{OA}) = \frac{d^2}{dt}(d\vec{y}_0 + r\vec{x}_1) \\
 &= \vec{\Omega}_{0/2} \times d\vec{y}_0 + \vec{\Omega}_{1/2} \times r\vec{x}_1 \\
 &= d\dot{\theta}_2 \vec{x}_0 + r(\dot{\theta}_1 - \dot{\theta}_2) \vec{y}_1
 \end{aligned}$$

On doit vérifier que :

$$\vec{V}(A, 1/2) \cdot \vec{y}_2 = 0$$

soit:

$$-d\dot{\theta}_2 \sin \theta_2 + r(\dot{\theta}_1 - \dot{\theta}_2) \cos(\theta_1 - \theta_2) = 0$$

qui correspond à la dérivée de l'équation de liaison (1)

8. Le coulisseau S_4 constitue la sortie du mécanisme, donnez la nature du mouvement de 4/o et exprimez son torseur cinématique au point E .

4/o est une translation d'axe $\vec{x}_{0,4}$

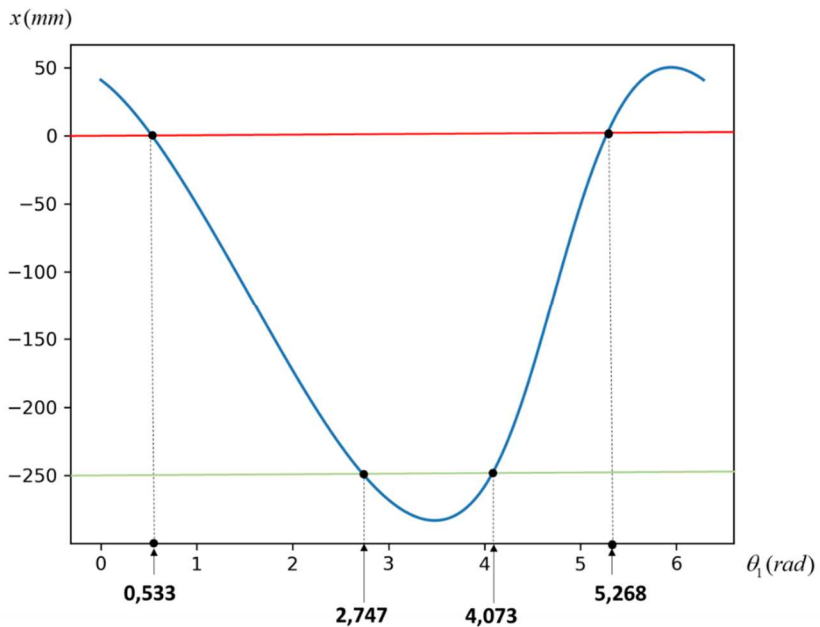
$$\begin{cases} \vec{\Omega}_{4/0} = \vec{0} \\ \vec{V}(E, 4/0) = \dot{x} \vec{x}_{0,4} \end{cases}$$

1.3 MECANISME A RETOUR RAPIDE

Une étude simplifiée est proposée afin d'apprécier la différence de vitesse entre les mouvements d'avance (dans la direction de $-\vec{x}_{0,4}$) et de recul (dans la direction de $+\vec{x}_{0,4}$).

9. La figure 2 ci-dessous représente l'évolution du paramètre de translation x en fonction de l'angle θ_1 obtenue numériquement grâce aux équations de liaison pour les valeurs numériques suivantes : $L=500$ mm ; $e=120$ mm ; $r=100$ mm ; $b+d=500$ mm.
- a- En supposant que la vitesse angulaire du vilebrequin $\omega_1 = \dot{\theta}_1$ est constante, expliquer comment il est possible d'estimer les vitesses moyennes durant les phases d'avance et de retour du coulisseau à partir des valeurs portées sur la figure 2.
 - b- Déterminer ces vitesses moyennes pour $\omega_1 = 0.6$ rd/s et conclure sur la propriété de retour rapide de ce système.

N° GROUPE	NOM	PRENOM

FIMI 2ème année

 Figure 2 – Evolution de x en fonction de l'angle θ_1 du vilebrequin S_1

$$|\dot{x}| \approx \left| \frac{\Delta x}{\Delta t} \right| = \left| \frac{\Delta x}{\Delta \theta} \right| \frac{\Delta \theta}{\Delta t} = \omega_i \left| \frac{\Delta x}{\Delta \theta} \right|$$

$$|\dot{x}_{avance}| \approx 0.6 \frac{250}{2.747 - 0.533} = 67.8 \text{ mm/s}$$

$$|\dot{x}_{retour}| \approx 0.6 \frac{250}{5.268 - 4.073} = 125 \text{ mm/s}$$

Pratiquement, deux fois plus rapide dans la phase de retour que dans la phase d'avance (Archéologie technologique: propriété utilisée dans les étaux limeurs, la phase lente était la phase de coupe...)

2 MECANISME A RETOUR RAPIDE : ETUDE GRAPHIQUE (~6PTS)

Pour chacune des questions de la partie 2, les **tracés seront effectués sur la figure 5 en annexe 1**, et les **justifications associées** seront fournies dans les cadres ci-dessous prévus à cet effet.

- a) On donne $\vec{V}(A,1/0)$ sur la figure 5 (Annexe 1), justifier sa direction.

N° GROUPE	NOM	PRENOM

FIMI 2^{ème} année

Le mouvement 1/o est une rotation de centre B et A est un point de S1. Son vecteur vitesse /(Ro) est donc perpendiculaire au rayon vecteur BA.

b) A partir de la composition des vitesses, tracer $\vec{V}(A,2/0)$ et $\vec{V}(A,1/2)$

$$\vec{V}(A,2/0) = \vec{V}(A,2/1) + \vec{V}(A,1/0)$$

avec

* $\vec{V}(A,2/0) \perp OA$ car 2/0 est une rotation de centre O

* $\vec{V}(A,2/1) \parallel (A, \vec{x}_2)$ cf résultats analytiques

* $\vec{V}(A,1/0)$ donné

Cf Figure

c) En déduire $\vec{V}(C/0)$

C est un point de 2 et 2/o est une rotation de centre O.

$$\vec{V}(C/0) \perp OC$$

et

$\|\vec{V}(C/0)\|$ varie linéairement avec la distance au point O

la variation linéaire est définie par $\|\vec{V}(A/0)\|$

d) Construire le CIR I_{30} du mouvement 3/o. Tracer les vitesses $\vec{V}(D/0)$ et $\vec{V}(E/0)$

Deux rayons vecteurs sont connus pour la rotation tangente 3/o : OC et OD. L'intersection donne $O = I_{30}$ (cas particulier)

Connaissant I_{30} et $\vec{V}(C/0) = \vec{V}(C,3/0)$, $\vec{V}(D,3/0)$ est déduit par les propriétés des rotations tangentes (perpendiculaire à OD, amplitude proportionnelle à la distance au centre instantané de rotation, sens et calibration par $\vec{V}(C/0) = \vec{V}(C,3/0)$)

$$\vec{V}(D,3/0) = \vec{V}(D,4/0)$$

4/o est une translation donc le champ de vitesses est uniforme et $\vec{V}(E,4/0) = \vec{V}(D,4/0)$

e) Tracer $\vec{V}(O,2/1)$ et en déduire le CIR I_{21} du mouvement 2/1

$$\vec{V}(O,2/1) = \vec{V}(O,2/0) - \vec{V}(O,1/0) = -\vec{V}(O,1/0)$$

N° GROUPE	NOM	PRENOM

FIMI 2ème année

1/0 est une rotation de centre B et $\vec{V}(A,1/0)$ est connue, on en déduit $\vec{V}(0,1/0)$

I21 est à l'intersection des perpendiculaires à $\vec{V}(O,2/1)$ et $\vec{V}(A,2/1)$

3 AJOUT D'UNE ROULETTE AVEC ROULEMENT SANS GLISSEMENT (~4PTS)

Afin de réduire le glissement entre les solides 1 et 2, une roulette de rayon ρ (solide 5) est montée sur l'ergot en A (Figure 3). Une liaison pivot d'axe (A, \vec{z}) relie les solides 5 et 1, le paramètre de mouvement associé est $\alpha = (\vec{x}_1, \vec{x}_5)$. Pour la phase du mouvement considérée, on suppose, par ailleurs, que le contact entre la roulette (solide 5) et la rainure du solide 2 n'existe qu'au point I (sur la partie gauche de la rainure, un jeu non représenté existe sur le côté opposé) ; ce contact est permanent et s'effectue sans glissement.

1 – Après avoir identifié une normale unitaire au contact au point I, en déduire les vecteurs pivotement et roulement $\vec{P}(I,5/2)$ et $\vec{R}(I,5/2)$.

$$\vec{n} = \pm \vec{y}_2 \text{ normale unitaire au contact en I}$$

$$\vec{\Omega}_{5/2} = \vec{\Omega}_{5/1} + \vec{\Omega}_{1/0} - \vec{\Omega}_{2/0} = (\dot{\alpha} + \dot{\theta}_1 - \dot{\theta}_2) \vec{z}$$

d'où:

$$\vec{P}(I,5/2) = (\vec{\Omega}_{5/2} \cdot \vec{y}_2) \cdot \vec{y}_2 = \vec{0}$$

$$\vec{R}(I,5/2) = \vec{\Omega}_{5/2} = (\dot{\alpha} + \dot{\theta}_1 - \dot{\theta}_2) \vec{z}$$

2 – Ecrire et développer la condition de roulement sans glissement au point de contact I

N° GROUPE	NOM	PRENOM

FIMI 2ème année

La position du point de contact I est définie par $A\vec{I} = \rho \vec{y}_2$

$$\vec{V}(I, 5/2) = \vec{0}$$

$$\vec{V}(I, 5/1) + \vec{V}(I, 1/0) - \vec{V}(I, 2/0) = \vec{0}$$

$$\vec{V}(A, 5/1) + \vec{\Omega}_{5/1} \times A\vec{I} + \vec{V}(A, 1/0) + \vec{\Omega}_{1/0} \times A\vec{I} - \vec{V}(O, 2/0) - \vec{\Omega}_{2/0} \times O\vec{I} = \vec{0}$$

$$\vec{0} + \dot{\alpha} \vec{z} \times \rho \vec{y}_2 + r \dot{\theta}_1 \vec{y}_1 + \dot{\theta}_1 \vec{z} \times \rho \vec{y}_2 - \vec{0} - \dot{\theta}_2 \vec{z} \times (d \vec{y}_0 + r \vec{x}_1 + \rho \vec{y}_2) = \vec{0}$$

$$-\rho \dot{\alpha} \vec{x}_2 + r \dot{\theta}_1 \vec{y}_1 - \rho \dot{\theta}_1 \vec{x}_2 + \rho \dot{\theta}_2 \vec{x}_2 - r \dot{\theta}_2 \vec{y}_1 + d \dot{\theta}_2 \vec{x}_0 = \vec{0}$$

$$\boxed{\rho(\dot{\theta}_2 - \dot{\theta}_1 - \dot{\alpha}) \vec{x}_2 + r(\dot{\theta}_1 - \dot{\theta}_2) \vec{y}_1 + d \dot{\theta}_2 \vec{x}_0 = \vec{0}}$$

Projection selon \vec{x}_2 (car $\vec{V}(I, 5/2) \perp \vec{y}_2$) :

$$\boxed{\rho(\dot{\theta}_2 - \dot{\theta}_1 - \dot{\alpha}) + r(\dot{\theta}_1 - \dot{\theta}_2) \sin(\theta_2 - \theta_1) + d \dot{\theta}_2 \cos \theta_2 = 0}$$

N° GROUPE	NOM	PRENOM

FIMI 2ème année

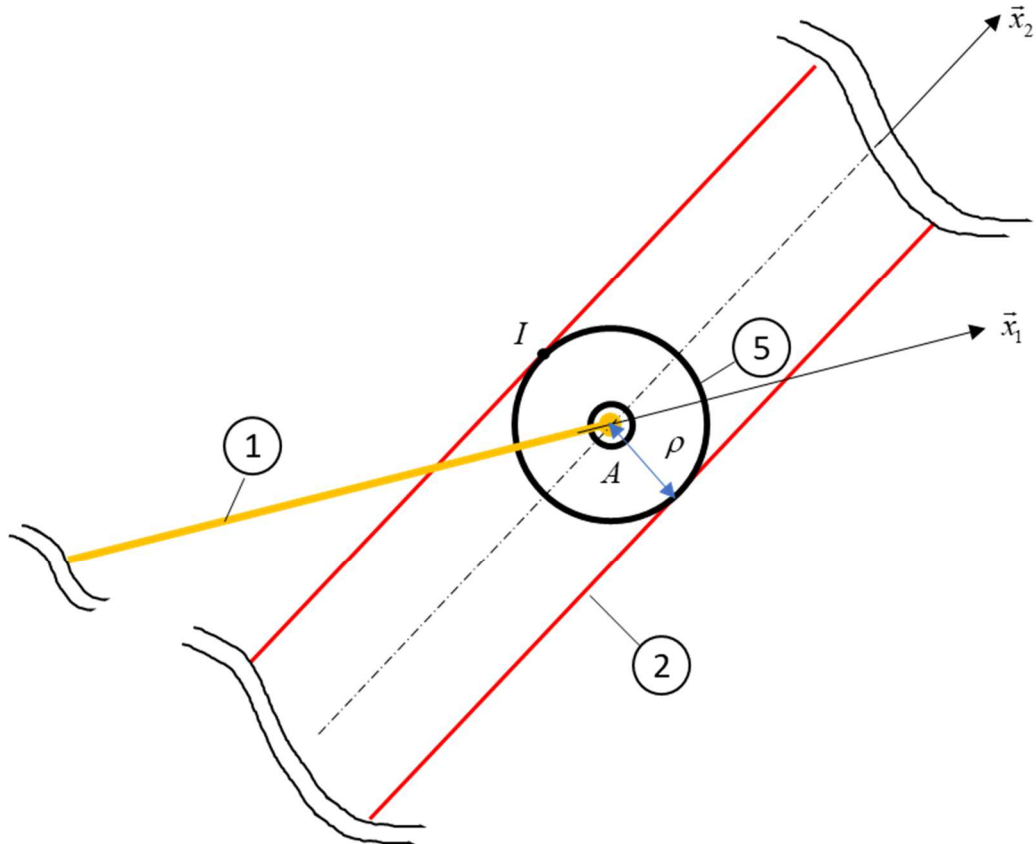


Figure 3 – Contact roulette-rainure

N° GROUPE	NOM	PRENOM

FIMI 2ème année

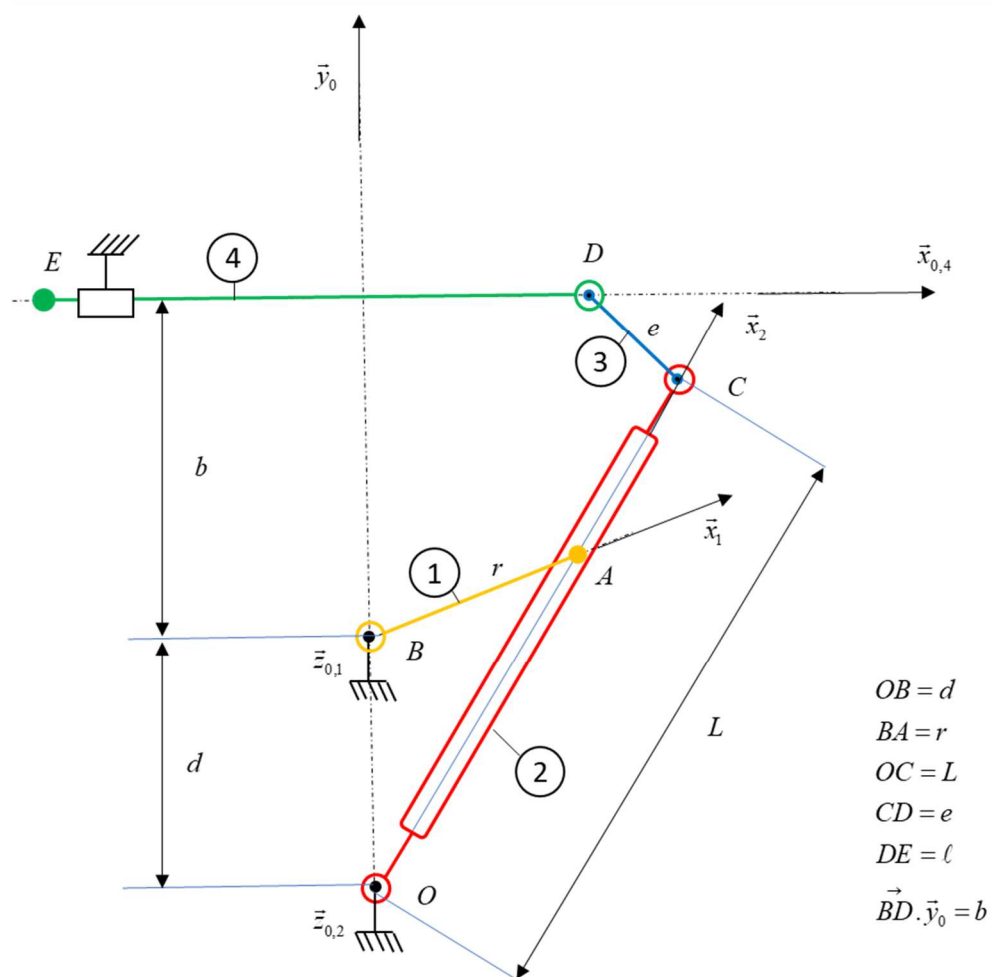
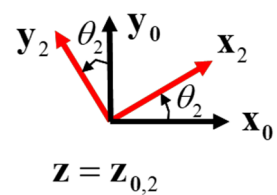
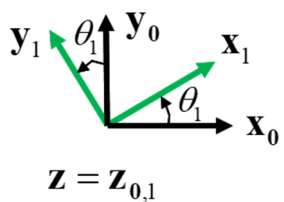
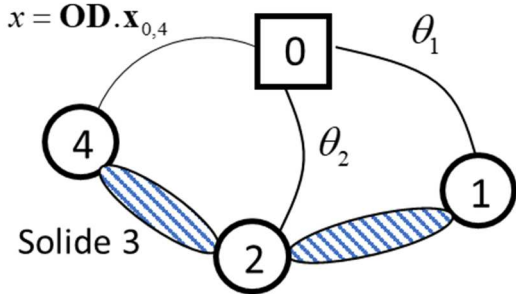


Figure 4. Schéma cinématique du mécanisme à retour rapide

Figures de changement de bases et graphe des liaisons



Graphe des liaisons



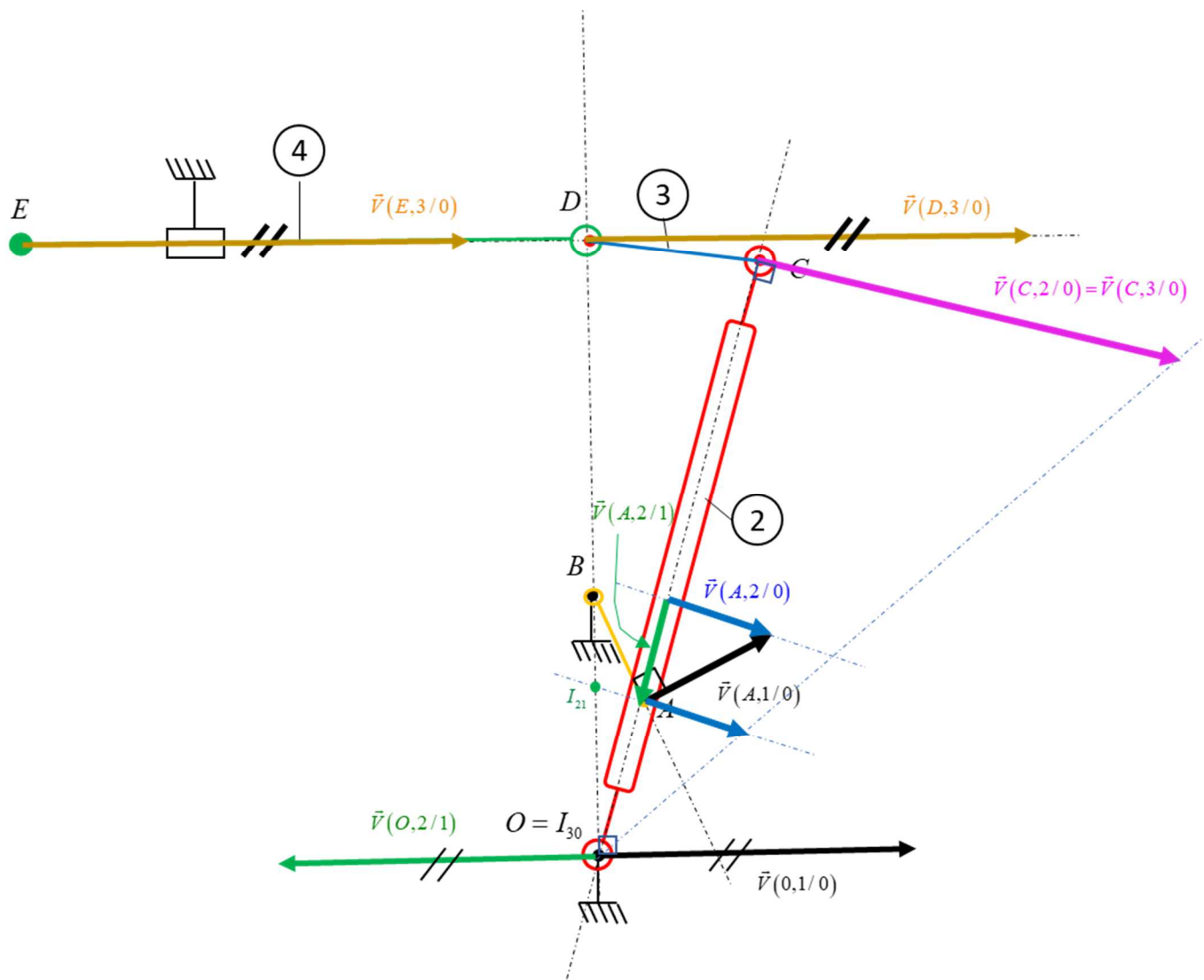


Figure 5 : Schéma pour la construction graphique